

Soutenance de Projet - AMS301

Problème stationnaire avec grille non structurée

Nour El Haddad & Adrien Sardi

22 Novembre 2023

Intervenants :
Axel Modave
Nicolas Kielbasiewicz



Plan

1 Présentation du problème

- Problème continu
- Problème discrétisé
- Buts du projet

2 Implémentation des solveurs

- Algorithme de **Jacobi**
- Parallélisation du solveur **Jacobi**
- Algorithme du **Gradient Conjugué**
- Parallélisation du solveur **Gradient Conjugué**

3 Validation

- Validation des codes séquentiels
- Validation des codes parallèles

4 Comparaisons

- Comparaison des convergences sur un benchmark
- Comparaison des performances : scalabilité faible et scalabilité forte
- Comparaison globale

Plan

1 Présentation du problème

- Problème continu
- Problème discrétisé
- Buts du projet

2 Implémentation des solveurs

- Algorithme de **Jacobi**
- Parallélisation du solveur **Jacobi**
- Algorithme du **Gradient Conjugué**
- Parallélisation du solveur **Gradient Conjugué**

3 Validation

- Validation des codes séquentiels
- Validation des codes parallèles

4 Comparaisons

- Comparaison des convergences sur un benchmark
- Comparaison des performances : scalabilité faible et scalabilité forte
- Comparaison globale

Présentation du problème

Problème continu :

- EDP dans un domaine Ω

- **Problème :**

Chercher $u \in H^1(\Omega)$ vérifiant :

$$\begin{cases} \alpha u - \Delta u = f & \text{dans } \Omega, \\ \frac{\partial u}{\partial n} = 0 & \text{sur } \partial\Omega, \end{cases}$$

$$\begin{aligned} u &\in H^1(\Omega) : \\ \alpha \int_{\Omega} uv + \int_{\Omega} \nabla u \cdot \nabla v &= \int_{\Omega} fv, \\ \forall v &\in H^1(\Omega). \end{aligned}$$

Problème discrétisé :

- Approximation par les E.F. \mathbb{P}^1 (Méthode de Galerkin)

- **Système :**

$$[\alpha \mathbb{M} + \mathbb{K}] U = \mathbb{M} F$$

$$\begin{aligned} M_{ij} &= \int_{\Omega} w_i w_j, \\ K_{ij} &= \int_{\Omega} \nabla w_i \cdot \nabla w_j, \\ f_i &= f(M_i), \\ u_i &= u_h(M_i). \end{aligned}$$

Présentation du problème : Les objectifs

- ➊ Résolution de l'EDP par E.F.
- ➋ Complétion/implémentation de deux solveurs itératifs : **Jacobi** et **Gradient Conjugué**
- ➌ Validation du code et de la convergence
- ➍ Validation de la parallélisation du code
- ➎ Comparaison de la convergence et de la performance des solveurs

Plan

1 Présentation du problème

- Problème continu
- Problème discrétisé
- Buts du projet

2 Implémentation des solveurs

- Algorithme de **Jacobi**
- Parallélisation du solveur **Jacobi**
- Algorithme du **Gradient Conjugué**
- Parallélisation du solveur **Gradient Conjugué**

3 Validation

- Validation des codes séquentiels
- Validation des codes parallèles

4 Comparaisons

- Comparaison des convergences sur un benchmark
- Comparaison des performances : scalabilité faible et scalabilité forte
- Comparaison globale

Implémentation du solveur : **Jacobi**

- Code parallélisé déjà fourni
- On implémente et parallélise :
 - ① La norme 2 du résidu pour le critère d'arrêt Jacobi
 - ② La norme L^2 de l'erreur $\|u_h - u_{ref}\|_{L^2} : \|v\|_{L^2} \approx \|v_h^T \mathbb{M} v_h\|$

Points d'attention

- Faire attention au passage par adresse
- Comprendre la différence entre la norme locale et la norme globale
- Rajouter une fonction `removeInterMPI`

Parallélisation du solveur **Jacobi**

Idée pour la parallélisation

2 points de vue :

❶ **PDV vecteur :**

Chaque processus p_i calcule $u|_{p_i}$ ainsi que les termes de bords

❷ **PDV scalaire :**

Chaque processus calcule $f(u) \in \mathbf{R}$ où $u \in \Omega$

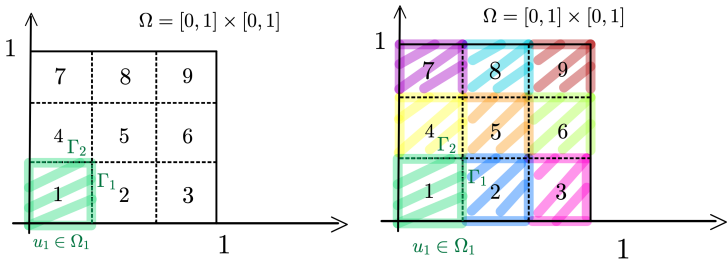


Figure 1 – Schéma qui illustre le fonctionnement du code parallèle

Parallélisation du solveur **Jacobi**

```
1 double norm_2_glo(ScaVector u, Mesh& mesh) {
2     removeInterfMPI(u,mesh);
3     double n_loc = 0; double n_glo; double size = u.size();
4     for (int i = 0; i < size; ++i) {
5         n_loc += u(i)*u(i);
6     }
7
8     MPI_Allreduce (&n_loc, &n_glo, 1, MPI_DOUBLE , MPI_SUM,
9     MPI_COMM_WORLD);
10    return sqrt(n_glo);
}
```

Listing 1 – Fonction norme globale

```
1 void removeInterfMPI(ScaVector& vec, Mesh& mesh)
2 {
3     for(int nTask = 0; nTask < myRank+1; ++nTask){
4         int numToExch = mesh.numNodesToExch(nTask);
5
6         for(int nExch=0; nExch<numToExch; nExch++){
7             vec(mesh.nodesToExch(nTask,nExch)) = 0;
8         }
9     }
10 }
```

Listing 2 – Fonction removeInterMPI

Implémentation du solveur : **Gradient Conjugué**

- On écrit le système linéaire $Au = b$ sous la forme d'un problème de minimisation de la fonctionnelle :

$$J(x) = \frac{1}{2}(Ax, x) - (b, x)$$

- On résout alors le système itératif non stationnaire suivant :

$$\begin{cases} x(0) \in \mathbf{R}^n \text{ donnée} \\ x^{(\ell+1)} = x^{(\ell)} + \alpha^{(\ell)} p^{(\ell)} \end{cases}$$

$$\text{où } \alpha^{(\ell)} = \frac{(p^{(\ell)}, p^{(\ell)})}{(Ap^{(\ell)}, p^{(\ell)})} \text{ et } p^{(\ell)} = -\nabla J(x^{(\ell)}) = b - Ax^{(\ell)}$$

Code du solveur **Gradient Conjugué**

```
1 while (norm_r/norm_r_0 > tol && it < maxit){
2     // 1. Update field
3     Ap = A*p;
4     exchangeAddInterfMPI(Ap, mesh);
5     alpha_ = prod_scal_glo(r,p,mesh)/prod_scal_glo(Ap,p,mesh);
6     u += alpha_*p;
7
8     // 2. Update residu and p
9     r -= alpha_*Ap;
10    Ar = A*r;
11    exchangeAddInterfMPI(Ar, mesh);
12    beta = -prod_scal_glo(Ar,p,mesh)/prod_scal_glo(Ap,p,mesh);
13    p = r + beta*p;
14
15    // 3. Update of norm_r
16    norm_r = norm_2_glo(r,mesh);
17
18    // 4. Affichage
19    if(((it % (maxit/10)) == 0)){
20        if(myRank == 0){
21            cout << "[" << it << "]" residual:" << norm_r/norm_r_0 <<
endl;}} it++;}
```

Listing 3 – Code pour le gradient conjugué

Parallélisation du solveur **Gradient Conjugué**

Points d'attention

L'algorithme fait intervenir des **produits scalaires** !

Solution

A chaque fois que l'on calcule un scalaire, on élimine les bords en communs selon la règle qu'on s'est fixés

Plan

1 Présentation du problème

- Problème continu
- Problème discrétisé
- Buts du projet

2 Implémentation des solveurs

- Algorithme de **Jacobi**
- Parallélisation du solveur **Jacobi**
- Algorithme du **Gradient Conjugué**
- Parallélisation du solveur **Gradient Conjugué**

3 Validation

- Validation des codes séquentiels
- Validation des codes parallèles

4 Comparaisons

- Comparaison des convergences sur un benchmark
- Comparaison des performances : scalabilité faible et scalabilité forte
- Comparaison globale

Validation des codes séquentiels

Objectif

Valider notre code en prenant $a, b, \alpha = 1$ avec la solution manufacturée :

$$u(x) = \cos(4\pi x) \cos(\pi y)$$

Lemme d'Aubin-Nitsche

$$\|u - u_h\|_{L^2} \leq Ch^2 |u|_2$$

- On sait que notre erreur doit varier à la même vitesse que h^2
- $\log \|u - u_h\|_{L^2}$ doit avoir une pente de 2 en fonction de $\log(h)$
- $\log \|u - u_h\|_{L^2}$ **doit avoir une pente de -2 en fonction de $\log(\frac{1}{h})$**

Validation des codes séquentiels

Mission accomplie !

log(Erreur) et $y = -2x + b$ en fonction de $\log(1/h)$

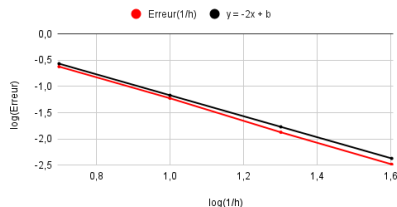


Figure 2 – Log erreur en fonction de $\log(1/h)$ Jacobi

log(Erreur) et $y = -2x + b$ en fonction de $\log(1/h)$

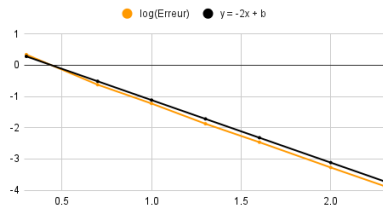


Figure 3 – Log erreur en fonction de $\log(1/h)$ Gradient Conjugué

• Régressions Linéaires :

① $y = -2.07x + 0.832R^2 = 1$ pour (2)

② $y = -2.08x + 0.885R^2 = 0.999$ pour (3)

Validation des codes parallèles

Validation

- ➊ On obtient le même nombre d'itérations en séquentiel et en parallèle.
- ➋ On obtient le même résidu final.

Validation des codes parallèles

Validation

- ➊ On obtient le même nombre d'itérations en séquentiel et en parallèle.
- ➋ On obtient le même résidu final.

Mission accomplie !

```
== gradient conjugate, nbTasks = 1
[0] residual: 4.22068
-> final iteration: 434 (prescribed max: 10000)
-> final residual: 9.99672e-07 (prescribed tol: 1e-06)
-> Erreur L2 : 0.000538397

== gradient conjugate, nbTasks = 4
[0] residual: 4.22068
-> final iteration: 434 (prescribed max: 10000)
-> final residual: 9.99688e-07 (prescribed tol: 1e-06)
-> Erreur L2 : 0.00053533

== gradient conjugate, nbTasks = 8
[0] residual: 4.22068
-> final iteration: 434 (prescribed max: 10000)
-> final residual: 9.99688e-07 (prescribed tol: 1e-06)
-> Erreur L2 : 0.00053533
```

Figure 4 – Même résidu et même nombre d'itération pour gradient conjugué

Plan

1 Présentation du problème

- Problème continu
- Problème discrétisé
- Buts du projet

2 Implémentation des solveurs

- Algorithme de **Jacobi**
- Parallélisation du solveur **Jacobi**
- Algorithme du **Gradient Conjugué**
- Parallélisation du solveur **Gradient Conjugué**

3 Validation

- Validation des codes séquentiels
- Validation des codes parallèles

4 Comparaisons

- Comparaison des convergences sur un benchmark
- Comparaison des performances : scalabilité faible et scalabilité forte
- Comparaison globale

Comparaison des convergences

Convergence des algorithmes ($h = 0,01$)

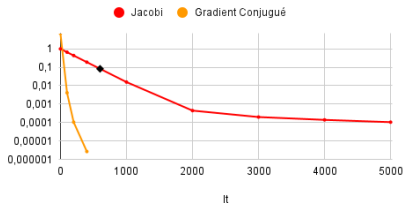


Figure 5 – Log du résidu en fonction du nombre d'itérations pour $h = 0.01$

Convergence des algorithmes ($h = 0,005$)

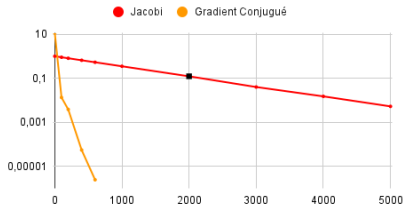


Figure 6 – Log du résidu en fonction du nombre d'itérations pour $h = 0.005$

Comparaison des convergences

Convergence des algorithmes ($h = 0,01$)

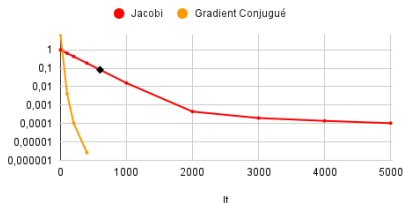


Figure 7 – Log du résidu en fonction du nombre d'itérations pour $h = 0.01$

Convergence des algorithmes ($h = 0,005$)

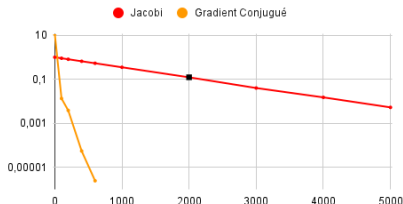


Figure 8 – Log du résidu en fonction du nombre d'itérations pour $h = 0.005$

Observations

- L'algorithme du Gradient conjugué converge beaucoup plus rapidement que Jacobi (attendu)
- Convergence d'autant plus rapide que le temps d'exécution d'une boucle de l'algorithme du Gradient conjugué est plus long que celle de l'algorithme de Jacobi (calcul de produit scalaire)
- L'écart augmente lorsque h augmente

Comparaison des performances : Scalabilité forte

Scalabilité Forte

- Pour h fixé, le nombre de processeurs augmente de 1 à P et on calcule S pour chaque nombre de processeurs.
- $S = \frac{T_{\text{séquentiel}}}{T_{\text{parallèle}}} \in [0, P]$
- Calcul réalisé sur le Cluster Cholesky

Strong Scaling

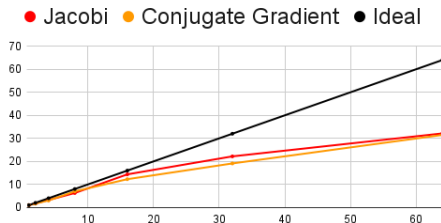


Figure 9 – Scalabilité forte pour Jacobi et Gradient Conjugué

Comparaison des performances : Scalabilité forte

Observations

- Une meilleure scalabilité forte pour Jacobi mais avec un écart relativement faible.

Strong Scaling

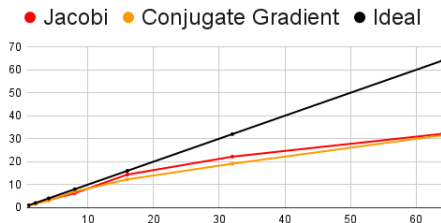


Figure 10 – Scalabilité forte pour Jacobi et Gradient Conjugué

Comparaison des performances : Scalabilité faible

Scalabilité Faible

- $E = \frac{S_{\text{actuel}}}{S_{\text{idéal}}} \in [0, 1]$
- $E = 1$ en théorie
- Calcul réalisé sur le Cluster Cholesky

Weak Scaling

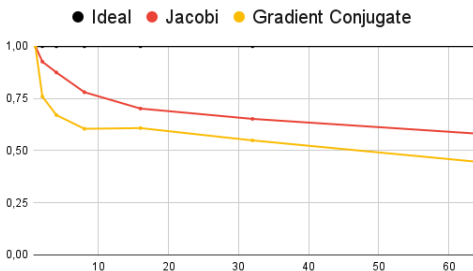


Figure 11 – Scalabilité faible pour Jacobi et Gradient Conjugué

Comparaison des performances : Scalabilité faible

Observations

- Une efficacité plus grande pour Jacobi.
- L'écart entre les deux est cette fois plus visible (de l'ordre de 15%).

Weak Scaling

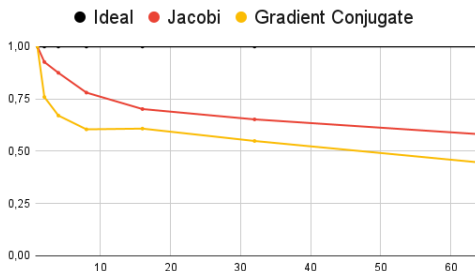


Figure 12 – Scalabilité faible pour Jacobi et Gradient Conjugué

Comparaison globale

En résumé

- Le **Gradient Conjugué** converge beaucoup plus rapidement que **Jacobi**.
- Les performances parallèles en terme de speedup et efficacité sont meilleures pour l'algorithme de **Jacobi**.

Conclusion

- ① Implémentation et parallélisation d'un code en C++
- ② Comparaison de la performance de nos algorithmes
- ③ Utilisation du mésocentre Cholesky de l'École Polytechnique

Merci pour votre attention !